

ลักษณะการสึกหรอของเครื่องยนต์ที่ใช้น้ำมันเชื้อเพลิงแก๊สโซชอล์ E20 E85 และน้ำมันหล่อลื่นที่ใช้งานแล้ว

Characterization of E20 E85 Engine Wear and Lubricating Used Oil

พลเอก บุญยเม^{1*}, จินดา เจริญพรพานิชย์¹ และ ปรีชา การินทร์²

¹ คณะวิศวกรรมศาสตร์ สถาบันเทคโนโลยีพระจอมเกล้าเจ้าคุณทหารลาดกระบัง ถนนคลองกรุง เขตลาดกระบัง กรุงเทพมหานคร 10520

² วิทยาลัยนานาชาติ สถาบันเทคโนโลยีพระจอมเกล้าเจ้าคุณทหารลาดกระบัง ถนนคลองกรุง เขตลาดกระบัง กรุงเทพมหานคร 10520

*ติดต่อ: อีเมล์ pol.ake.kmitl@gmail.com, เบอร์โทรศัพท์ 088-0805535

บทคัดย่อ

งานวิจัยนี้เป็นการศึกษาคุณสมบัติทางกายภาพและเคมีของน้ำมันหล่อลื่นที่ใช้งานแล้วเพื่อวิเคราะห์สภาพการสึกหรอของเครื่องยนต์ การเสื่อมสภาพของน้ำมันหล่อลื่นและสิ่งปนเปื้อนในน้ำมันหล่อลื่น รูปร่างของเศษโลหะในน้ำมันหล่อลื่นถูกวิเคราะห์ด้วยภาพถ่ายของชิ้นเศษโลหะและกล้องจุลทรรศน์อิเล็กทรอนแบบส่อง粒粒 ซึ่งในการทดสอบใช้เครื่องยนต์ 4 กระบอกสูบ 16 วาล์ว i-VTEC น้ำมันเชื้อเพลิงแก๊สโซชอล์ E20 และ E85 น้ำมันหล่อลื่นมาตรฐาน 0W20 โดยแบ่งการทดสอบออกเป็น 2 ส่วน การทดสอบแบบที่หนึ่งเป็นการเก็บตัวอย่างน้ำมันหล่อลื่นจากการที่ใช้งานจริงทุกระยะทาง 1,000 กม. จนถึง 10,000 กม. ในปริมาณ 80-100 มล. และการทดสอบแบบที่สองคือการทดสอบด้านไทรโภโลยโดยการวิเคราะห์ด้วยเครื่องมือไฟร์บอลจิ่งเป็นการทดสอบเพื่อวัดคุณสมบัติการป้องกันการสึกหรอด้วยการปนเปื้อนของเขม่าที่จำลองโดยใช้คาร์บอนแบล็คและน้ำมันเชื้อเพลิงในน้ำมันหล่อลื่นเพื่อวิเคราะห์การสึกหรอของพื้นผิวลูกลอกเหล็ก

ผลการทดลองพบว่าปริมาณของโลหะที่สึกหรอมีค่าเพิ่มมากขึ้นตามระยะเวลาการใช้งานของน้ำมันหล่อลื่นแต่ในทางตรงกันข้ามค่าความหนืดและความเป็นต่างของน้ำมันหล่อลื่นที่ใช้แล้วจะมีค่าลดลง นอกจากนี้ในการทดสอบไฟร์บอลจิ่งว่าการสึกหรอของพื้นผิวลูกลอกเหล็กในน้ำมันหล่อลื่นที่มีการปนเปื้อนของคาร์บอนแบล็คและน้ำมันเชื้อเพลิงมีค่าการสึกหรอมากกว่าน้ำมันหล่อลื่นที่ไม่มีการปนเปื้อน

คำหลัก: น้ำมันหล่อลื่น, การสึกหรอ, เครื่องยนต์, ไทรโภโลย, การทดสอบไฟร์บอลจิ่ง

Abstract

This research is studied to analyze the physical and chemical properties of the lubricant used to analyze the wear of engine, deterioration of the lubricant oil and contamination in the lubricating oil. The shapes of metals wear debris is investigated by ferrography and scanning on electron microscope. The engine is a 4-cylinder 16 valve i-VTEC used E20 and E85 fuel which has the viscosity grade SAE 0W20 used to testing and divided into two types; the first type is the samples of lubricating oil used from the vehicle actually at distance range of 1,000 to 10,000 km with quantity oil 80-100 ml. The second type is the tribology behavior which is studied by four ball test. It is used to measure the anti wear when mixing the fuel and carbon black to analyze wear surface of the steel ball.

The results showed that the quantities of metals wear has increased with in the intervals of the lubricating oil. In contrast, the viscosity value and total base number (TBN) are decreased. In addition, the four ball test showed that the wear in the surface of the steel ball in lubricating oil when mixing with fuel and carbon black wears more than the new oil.

Keywords: lubricant, wear, engine, tribology, four ball test

1. บทนำ

ในเครื่องยนต์แก๊สโซลินพลังงานที่ได้จากการเผาไหม้ภายในเครื่องยนต์สูญเสียพลังงานไปกับกําชไอเสีย (Exhaust) และการถ่ายเทความร้อน (Cooling) พลังงานกลที่ได้นั้นสูญเสียไปกับการเสียดทานในส่วนต่างๆ โดยเฉพาะภายในเครื่องยนต์ส่วนใหญ่เป็นการเสียดทานจากส่วนประกอบของลูกสูบ [1]

ขอบเขตของการหล่อลื่นนั้นแบ่งออกเป็น 3 แบบคือขอบเขตการหล่อลื่นแบบบางน้ำหนัก (boundary) แบบกึ่งสมบูรณ์ (Mixed) และแบบสมบูรณ์ (full-film) [1-2] พบร่วมที่เริ่มสถาารและดับเครื่องยนต์และปัจจัยของอุณหภูมิที่สูงมีผลทำให้ฟลัมมาน์มันหล่อลื่นบางลงจนอาจนำไปสู่การขาดการหล่อลื่นมักพบในขอบเขตการหล่อลื่นแบบบางน้ำหนัก [3]

กลไกการสึกหรอภายในเครื่องยนต์มีกลไกแบบบีดติด (adhesive wear) เกิดจากความหมายหน้าผิวชิ้นงานฉีกขาดออกໄไปในขณะชิ้นงานเคลื่อนที่ กลไกแบบขูดขีด (abrasive wear) เกิดจากเนื้อชิ้นงานถูกสารที่มีความแข็งสูงถูกขีดขี้นงาน กลไกการสึกหรอแบบล้าตัว (fatigue wear) เกิดจากชิ้นงานมีการรับภาระเป็นวงรอบ (cycles) และเกิดรอยแตกและกลไกแบบกัดกร่อน (corrosive wear) เกิดจากชิ้นงานที่มีการขัดสีและเกิดผลพวงจากปฏิกิริยาเคมี [4-5] ซึ่งสามารถวิเคราะห์ได้โดยเฟอร์โตรграфฟ์ทำให้ทราบถึงลักษณะกลไกการสึกหรอจากเศษโลหะที่สึกหรอที่ปนเปื้อนอยู่ในน้ำมันหล่อลื่น [6-7]

การวิเคราะห์น้ำมันที่ใช้งานแล้วมี 3 ส่วนหลัก ส่วนที่หนึ่งการวิเคราะห์ถึงชนิดรاثุของการสึกหรอ (wear condition) เพื่อวิเคราะห์หาแหล่งที่มาปริมาณของเศษ

โลหะสึกหรอว่ามีการสึกหรอในปริมาณที่ปกติหรือผิดปกติ และรูปร่างหน้าตาของเศษโลหะสึกหรอ ส่วนที่สองการวิเคราะห์ความเสื่อมสภาพของน้ำมันหล่อลื่น (oil condition) ในรูปของคุณสมบัติที่สำคัญของน้ำมันหล่อลื่น เช่น ค่าความหนืด ค่าออกซิเดชัน ค่าในเตอร์ชั่น ค่าความเป็นด่างในน้ำมันหล่อ ส่วนที่สามการปนเปื้อน (contamination) สามารถปนเปื้อนได้ทั้งทางภายในและภายนอกเครื่องยนต์ ตัวอย่างการปนเปื้อน เช่น น้ำมันเชื้อเพลิง เช่น ฝุ่นละออง น้ำ เป็นสาเหตุหนึ่งที่สำคัญที่ส่งผลต่อการสึกหรอภายในเครื่องยนต์และการเสื่อมสภาพของน้ำมันหล่อลื่น [3] [8-9]

ดังนั้นการศึกษาคุณสมบัติของน้ำมันหล่อลื่นระหว่างใช้งานในเครื่องยนต์แก๊สโซลินและการวิเคราะห์การสึกหรอในเครื่องยนต์ดังกล่าวจะมีความจำเป็นอย่างยิ่งเพื่อจะทำให้ทราบถึงกลไกที่ทำให้เกิดปัญหาและแนวทางการแก้ไข

2. วัสดุ อุปกรณ์และวิธีการทดลอง

2.1 เครื่องยนต์ น้ำมันหล่อลื่นและน้ำมันเชื้อเพลิง

งานวิจัยนี้ทำการเก็บข้อมูลจากรถยนต์ 1 คัน ก่อนทำการเก็บตัวอย่างน้ำมันหล่อลื่นได้ทำการเปลี่ยนถ่ายน้ำมันหล่อลื่น เป็นอย่างน้อย 10,000 กม. และทำการเปลี่ยนถ่ายน้ำมันหล่อลื่นโดยเฉลี่ย 10,000 กม. และทำการเปลี่ยนถ่ายน้ำมันหล่อลื่น เป็นอย่างน้อย 10 นาที ใช้มีม

สัญญาการต่อเข้ากับสายดูดน้ำมัน เสียบสายดูด
น้ำมันหล่อลื่นเข้าทางช่องวัตระดับน้ำมันหล่อลื่นของ
เครื่องยนต์ เก็บตัวอย่างปริมาณ 80-100 มล. ต่อ^ๆ
ระยะทาง 1,000 กม. รายละเอียดเครื่องยนต์
น้ำมันหล่อลื่นและน้ำมันเชื้อเพลิง แสดงในตารางที่ 1

ตารางที่ 1 เครื่องยนต์ น้ำมันหล่อลื่นและน้ำมันเชื้อเพลิง

Engine type	4-cylinder,16-valve,SOHC i-VTEC
Displacement (CC)	1497
Bore x Stroke (mm)	73 x 89.4
Compression Ratio	10.3:1
Transmission	Automatic
Engine oil	SAE 0W20
Fuel	E20,E85

2.2 การวิเคราะห์น้ำมันหล่อลื่น

การวิเคราะห์น้ำมันหล่อลื่นที่ใช้งานแล้วทำการ
วิเคราะห์ดูจากการเปลี่ยนแปลงไปของคุณสมบัติทาง
กายภาพและเคมีของน้ำมันหล่อลื่นที่ใช้งานแล้วเทียบกับ
น้ำมันหล่อลื่นที่ยังไม่ได้ใช้งาน (new oil) การวิเคราะห์
น้ำมันที่ใช้งานแล้วมี 3 ส่วน ส่วนที่หนึ่งการวิเคราะห์ถึง^ๆ
ชนิดรاثุของการสึกหรอ ส่วนที่สองการวิเคราะห์ความ
เสื่อมสภาพของน้ำมันหล่อลื่น ส่วนที่สามการปนเปื้อน
แสดงรายละเอียดตามตารางที่ 2

ตารางที่ 2 คุณสมบัติทางกายภาพและเคมีและมาตรฐาน

Physical/Chemical properties		Testing standard	Unit
Wear condition	Iron	ASTM D6595	PPM
	Chromium		
	Lead		
	Copper		
	Tin		
	Aluminum		
Oil condition	Shape	Ferrography	
	Viscosity	ASTM D445	cSt
Contamination	TBN	ASTM D-4739	mgKOH/g
	Fuel	E2412M	% Wt
	Soot	E2412M	% Wt

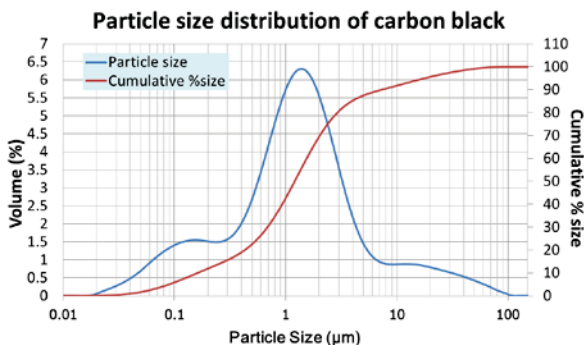
*TBN – ค่าความเป็นด่างของน้ำมันหล่อลื่น (Total Base Number)

2.3 การทดสอบด้วยไฟร์บอล

การทดสอบด้วยไฟร์บอลเป็นการทดสอบเพื่อวัด
คุณสมบัติการป้องกันการสึกหรอ (anti wear) และการ
สูงสุดที่รับได้ (extreme pressure) ของน้ำมันหล่อลื่น
ในงานวิจัยนี้ทำการทดสอบแบบวัดคุณสมบัติการป้องกัน
การสึกหรอของน้ำมันหล่อลื่นโดยนำลูกบอลเหล็กเส้น
ผ่านศูนย์กลาง 12.7 มม. สามลูกแข่งลงไปในน้ำมันหล่อลื่น
จนทั่วจับยืดแน่นไม่มีการเคลื่อนที่ กดลูกบอลเส้นผ่าน
ศูนย์กลาง 12.7 มม. อีกลูกลงบนช่องระหว่างลูกบอล
สามลูกจะเกิดจุดผิวสัมผัสทั้งสามลูกด้วยแรง 394 นิวตัน^ๆ
ความเร็ว 1,200 รอบ/นาที เป็นเวลา 60 นาที
เปรียบเทียบคุณสมบัติการป้องกันการสึกหรอโดย
วิเคราะห์จากเส้นผ่านศูนย์กลางของผลการสึกหรอ
(scar) บนผิวลูกบอลเหล็กทั้งสามลูกด้านล่างที่เกิดจาก
การเสียดสีของลูกบอล ตัวอย่างที่ใช้ในการทดสอบนี้มี
ด้วยกัน 4 ตัวอย่าง ประกอบด้วย น้ำมันหล่อลื่นที่ไม่มีการ
ปนเปื้อนน้ำมันเชื้อเพลิงและเขม่า น้ำมันหล่อลื่นปนเปื้อน
น้ำมันเชื้อเพลิง E20 1 %Wt. น้ำมันหล่อลื่นปนเปื้อน
น้ำมันเชื้อเพลิง E85 1 %Wt. และน้ำมันหล่อลื่นปนเปื้อน
น้ำมันเชื้อเพลิง E85 1 %Wt. กับการบอนแบล็ค
1 %Wt.

2.4 เขม่า

เขม่าเกิดมาจากการบวนการเผาไหม้ที่ไม่สมบูรณ์จะ
ส่งผลทำให้มีปริมาณเขม่าสูงผิดปกติ เขม่าเข้ามาปนเปื้อน
ในอ่างน้ำมันหล่อลื่นได้โดยวิธีใบบานซึ่งจะส่งผลให้
น้ำมันเสื่อมคุณภาพอย่างรวดเร็วทำให้เกิดคราบสกปรก
ตกตะกอนในระบบ เกิดการอุดตันในเส้นกรองและการสึก
หรอของชิ้นส่วนต่างๆในเครื่องยนต์ ในเขม่าประกอบไป
ด้วย คาร์บอน 90 % ออกซิเจน 4 % ไฮโดรเจน 3 %
และธาตุอื่นๆ 3 % ในงานวิจัยนี้จะจำลองการปนเปื้อน^ๆ
เขม่าโดยใช้การบอนแบล็ค เนื่องจากอนุภาคของคาร์บอน
แบล็คมีขนาดและรูปร่างที่มีความคล้ายคลึงกันกับอนุภาค
ของเขม่า [10] คาร์บอนแบล็คมีขนาดและการกระจายตัว^ๆ
ของอนุภาคตามรูปที่ 1



รูปที่ 1 กราฟแสดงขนาด (μm) และการกระจายตัวของอนุภาคของ carbongon แบล็ค (volume%)

“รูปที่ 1” กราฟแสดงขนาดและการกระจายตัวของอนุภาคของ carbongon แบล็คด้วยเทคนิคการเลี้ยวเบนแสง carbongon แบล็ค มีขนาด 0.03-108 μm ไมโครเมตร สารปูรุ แต่กระจายเข้มในน้ำมันหล่อลื่นจะเสื่อมสภาพเร็วขึ้นถ้ามีการบ่นเปื้อนเข้มที่จับตัวเป็นก้อนขนาดมากกว่า 1 ไมโครเมตร [3,10] และจะส่งผลต่อการสึกหรอมากขึ้น จะเห็นได้ว่า carbongon แบล็ค มีขนาดมากกว่า 1 ไมโครเมตรมากกว่า 50 เปอร์เซ็นต์

2.5 รูปร่างของเศษโลหะและพื้นผิว

การวิเคราะห์ด้วยภาพถ่ายของชิ้นเศษโลหะ (Ferrography) เป็นการตรวจเช็คน้ำมันหล่อลื่นที่ผ่านการใช้งานแล้วโดยใช้หลักการผ่านตัวอย่างน้ำมันไปบนแผ่นสไลด์ที่มีแม่เหล็กแรงสูงวางอยู่ ซึ่งแม่เหล็กจะดูดเหล็กตามขนาดและทิศทางของสนามแม่เหล็ก ชิ้นเศษโลหะขนาดใหญ่จะอยู่บริเวณด้านบนของสไลด์ ชิ้นเศษโลหะขนาดเล็กจะอยู่บริเวณด้านล่างของสไลด์ การวิเคราะห์ทำให้ทราบถึงลักษณะอนุภาคเศษโลหะสึกหรอ รูปแบบการสึกหรอและสิ่งสกปรกที่บ่นเปื้อน

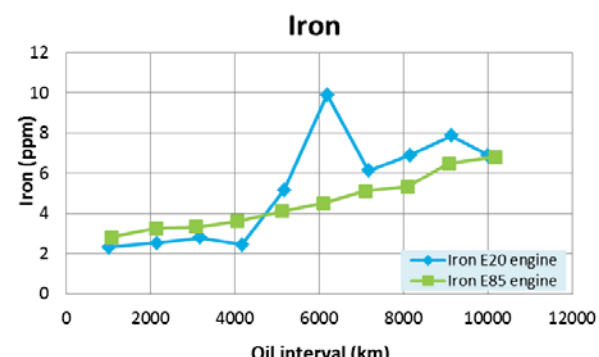
การวิเคราะห์ด้วยกล้องจุลทรรศน์อิเล็กตรอนแบบส่องกราด (SEM) ใช้หลักการกราดยิงลำอิเล็กตรอนบนผิวตัวอย่าง บริเวณที่ถูกลำอิเล็กตรอนจะเกิดสัญญาณซึ่งสัญญาณจะถูกแปลงเป็นภาพบนจอรับภาพ ในงานวิจัยนี้ใช้กล้องจุลทรรศน์อิเล็กตรอนแบบส่องกราดวิเคราะห์

ภาพถ่ายเศษโลหะในไส้กรองน้ำมันหล่อลื่นและผลการสึกหรอ (scar) บนผิวลูกบล็อกเหล็ก

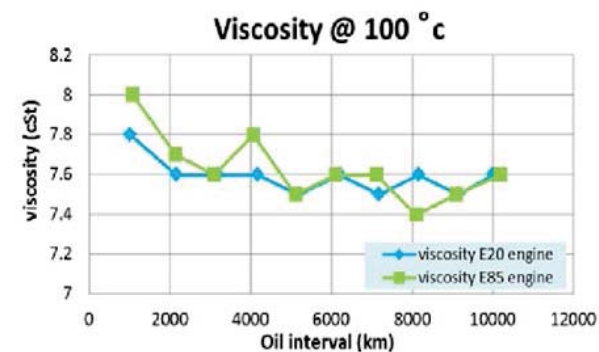
3. ผลการทดลองและอธิบาย

3.1 คุณสมบัติทางกายภาพและเคมีของน้ำมันหล่อลื่น

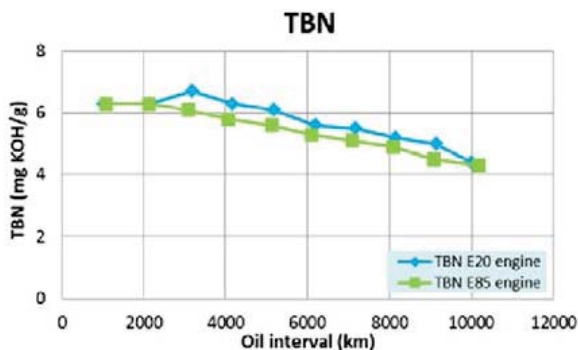
น้ำมันหล่อลื่นหลังจากใช้งานแล้วมีคุณสมบัติทางกายภาพและเคมีที่เปลี่ยนแปลงไปเมื่อเปรียบเทียบ น้ำมันหล่อลื่นที่ยังไม่ได้ใช้งาน เครื่องยนต์ที่ใช้ทดสอบเติมน้ำมันเชื้อเพลิง E20 ที่ระยะอายุรถ 22,878 km. ในรอบแรกและเปลี่ยนมาเติมน้ำมันเชื้อเพลิง E85 ที่ระยะอายุรถ 32,951 km. ในรอบที่สอง น้ำมันหล่อลื่นทั้งคู่มีการเปลี่ยนแปลงทางคุณสมบัติทางกายภาพและเคมีตามอายุการใช้งานน้ำมันหล่อลื่นตามรูปที่ 2-6



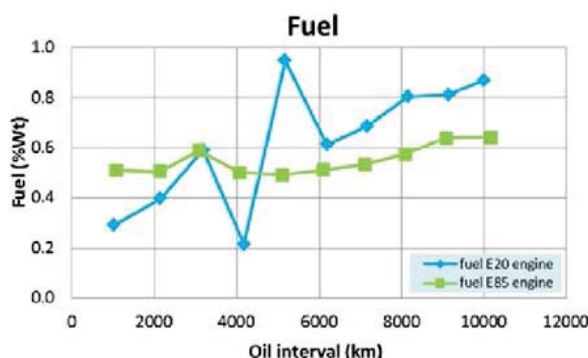
รูปที่ 2 กราฟแสดงปริมาณของเหล็ก (ppm) ในน้ำมันหล่อลื่นและอายุของน้ำมันหล่อลื่น (km)



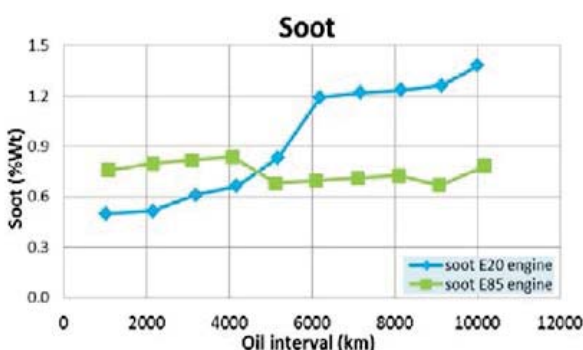
รูปที่ 3 กราฟแสดงความหนืด (cSt) ในน้ำมันหล่อลื่นและอายุของน้ำมันหล่อลื่น (km)



รูปที่ 4 กราฟแสดงค่าความเป็นด่าง (mgKOH/g) ในน้ำมันหล่อลื่นและอายุของน้ำมันหล่อลื่น (km)



รูปที่ 5 กราฟแสดงค่าการปนเปื้อนของน้ำมันเชื้อเพลิง (%Wt) ในน้ำมันหล่อลื่นและอายุของน้ำมันหล่อลื่น (km)



รูปที่ 6 กราฟแสดงค่าการปนเปื้อนของเขม่า (%Wt) ในน้ำมันหล่อลื่นและอายุของน้ำมันหล่อลื่น (km)

“รูปที่ 2” การตรวจวิเคราะห์ธาตุด้วยสเปกโตร มิเตอร์สามารถตรวจวัดธาตุต่างๆได้ตามความยาวคลื่น เช่น เหล็ก โครเมียม อะลูมิเนียม แอลู แต่โดยทั่วไปในการเสียดทานภายในเครื่องยนต์ส่วนใหญ่เป็นการเสียดทานจาก

ส่วนประกอบของลูกสูบ เช่น แหวนลูกสูบสัมผัสกับผนังกระบอกสูบซึ่งจะมีการสึกหรอมากตอนช่วงจังหวะจุดระเบิดของเครื่องยนต์ เพราะว่าเป็นช่วงที่พิล์มน้ำมันบางสุด ซึ่งเป็นส่วนของแหวนลูกสูบ กระบอกสูบ ลูกสูบ มีรัศมีองค์ประกอบหลักเป็นเหล็ก ในกราฟจะเห็นว่าหลังจากช่วงอายุน้ำมันหล่อลื่น 4,000 km. เครื่องยนต์ที่เติมน้ำมันเชื้อเพลิง E20 มีปริมาณการสึกหรอของเหล็กมากกว่าเครื่องยนต์ที่เติมน้ำมันเชื้อเพลิง E85 เนื่องจากมีการปนเปื้อนน้ำมันเชื้อเพลิงและเข้มมามากกว่า เพราะน้ำมันเชื้อเพลิงจะไปทำลายชั้นพิล์มน้ำมันหล่อลื่นและเข้ม่าจะไปปิดกั้นการเข้าทำงานที่ของน้ำมันหล่อลื่นทำให้ชิ้นงานสัมผัสกันโดยตรงและเขม่ายังเข้าไปขูดชีดชิ้นงานอีกด้วย

“รูปที่ 3” ในกราฟจะเห็นได้ว่ามีค่าความหนืดลดลงทั้งคู่ตามอายุน้ำมันหล่อลื่นที่เพิ่มขึ้น ซึ่งอาจมาจากการปนเปื้อนน้ำมันเชื้อเพลิง

“รูปที่ 4” ในกราฟจะเห็นได้ว่าค่าความเป็นด่างในน้ำมันหล่อลื่นลดลงทั้งคู่ตามอายุน้ำมันหล่อลื่นที่เพิ่มขึ้น ซึ่งทั้งคู่อาจเกิดจากการเล็ดลอดของก๊าซไฮเดรตจากกระบวนการเผาไหม้ผ่านทางแหวนลูกสูบ

“รูปที่ 5” ในกราฟจะเห็นได้ว่าเครื่องยนต์ที่เติมน้ำมันเชื้อเพลิง E20 และ E85 มีการปนเปื้อนของน้ำมันเชื้อเพลิงเพิ่มขึ้นทั้งคู่ตามอายุน้ำมันหล่อลื่นที่เพิ่มขึ้น แต่เครื่องยนต์ที่เติมน้ำมันเชื้อเพลิง E20 หลังจากช่วงอายุน้ำมันหล่อลื่น 4,000 km. มีอัตราการปนเปื้อนน้ำมันเชื้อเพลิงที่สูงมากกว่าเครื่องยนต์ที่เติมน้ำมันเชื้อเพลิง E85 การปนเปื้อนน้ำมันเชื้อเพลิงส่งผลต่อความหนืดของน้ำมันหล่อลื่นลดลง

“รูปที่ 6” ในกราฟจะเห็นได้ว่าเครื่องยนต์ที่เติมน้ำมันเชื้อเพลิง E20 มีอัตราการปนเปื้อนเขม่ามากกว่าเครื่องยนต์ที่เติมน้ำมันเชื้อเพลิง E85 เนื่องจากน้ำมันเชื้อเพลิงที่มีสัดส่วนผสมเօรานอลที่น้อยกว่าจะปล่อยเขม่าออกมากกว่า

3.2 ภาพถ่ายของชิ้นเศษโลหะ

“รูปที่ 7” ภาพถ่ายเศษโลหะสีกหรอที่ระยะ 10,000 กม. ของเครื่องยนต์เติมน้ำมันเชื้อเพลิง E20 ภาพ a) ภาพถ่ายเฟอร์โรกราฟพิมีเศษโลหะการสึกหรอแบบขัดถูแบบปกติขนาด 2-3 ไมโครเมตร โดยเฉลี่ย 55% การสึกหรอแบบล้าตัวของแบริ่งขนาด 5-20 ไมโครเมตร โดยเฉลี่ย 15% และมีการสึกหรอแบบตัดเฉือนขนาด 40 ไมโครเมตร โดยเฉลี่ย 5% ภาพ b) ภาพถ่ายไส้กรองน้ำมันเครื่องด้วยกล้องจุลทรรศน์แบบใช้แสง ลักษณะของเศษโลหะการสึกหรอแบบก้อนหรือแผ่นขนาดใหญ่จากกลไกการล้าตัวมีขนาดโดยประมาณ 230 ไมโครเมตร ผิวน้ำมันไม่เรียบซึ่งเกิดจากการรับภาระเป็นวงรอบและมีคราบสีน้ำตาลปากคุณภาพเกิดจากการเสื่อมสภาพของน้ำมันหล่อลื่นและได้รับความร้อน ตรงคราบสีน้ำตาลมีเม็ดก้อนสีขาวติดอยู่อาจจะเป็นฝุ่นละออง อนุภาคสิ่งสกปรกที่ปนเปื้อนมาจากสิ่งแวดล้อมภาพ c) ภาพถ่ายไส้กรองน้ำมันเครื่องด้วยกล้องจุลทรรศน์แบบส่องgrad ลักษณะของเศษโลหะการสึกหรอแบบก้อนหรือแผ่นขนาดใหญ่จากกลไกการล้าตัวมีขนาดโดยประมาณ 15 ไมโครเมตร เกิดจากการรับภาระเป็นวงรอบและมีคราบเข้ม่าที่ติดตามเส้นใยไส้กรองโดยทั่ว

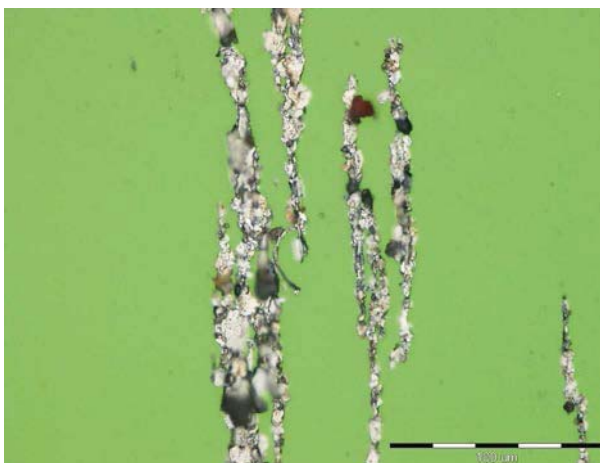
ภาพถ่ายเศษโลหะสีกหรอที่ระยะ 10,000 กม. ของเครื่องยนต์เติมน้ำมันเชื้อเพลิง E85 ภาพ a) ภาพถ่ายเฟอร์โรกราฟพิมีเศษโลหะการสึกหรอแบบขัดถูแบบปกติขนาด 2-3 ไมโครเมตร โดยเฉลี่ย 80% การสึกหรอแบบล้าตัวของแบริ่งขนาด 5-20 ไมโครเมตร โดยเฉลี่ย 10% ภาพ b) ภาพถ่ายไส้กรองน้ำมันหล่อลื่นด้วยกล้องจุลทรรศน์แบบใช้แสง ลักษณะของเศษโลหะการสึกหรอแบบลื่นไถลมีขนาดโดยประมาณ 150 ไมโครเมตร ลักษณะของผิวน้ำมีลักษณะของเส้นตรงลากผ่านผิวน้ำโดยทั่วซึ่งเกิดจากสภาพของผิวขึ้นงานลื่นไถลอย่างรุนแรงภายใต้ภาระสูงและความเร็วสูง ภาพ c) ภาพถ่ายไส้กรองน้ำมันหล่อลื่นด้วยกล้องจุลทรรศน์แบบแบบส่องgrad ลักษณะของเศษโลหะการสึกหรอจากกลไกการล้าตัวมีขนาดโดยประมาณ 29 ไมโครเมตร

3.3 การทดสอบด้วยโฟร์บอล

“รูปที่ 8-9” ภาพถ่ายผลการสึกหรอ (scar) บนลูกบอลเหล็กด้วยกล้องจุลทรรศน์แบบใช้แสงที่มีพังก์ชันวัดเส้นผ่านศูนย์กลางพร้อมกับความหมายของผลการสึกหรอและกล้องจุลทรรศน์แบบส่องgradตามลำดับ ภาพ a) น้ำมันหล่อลื่นที่ยังไม่ได้ใช้งานมีเส้นผ่านศูนย์กลางของผลการสึกหรอบนลูกบอลเหล็กทั้งสามลูกเฉลี่ย 494 ไมโครเมตร ความหมายของผิวเฉลี่ย 0.760 ไมโครเมตร และมวลที่หายไปของลูกบอลเหล็กทั้งสามลูกที่ซึ่งก่อนและหลังทดสอบมีค่า 0.3 มิลลิกรัม ภาพ b) ปนเปื้อนน้ำมันน้ำมันเชื้อเพลิง E20 ในน้ำมันหล่อลื่นที่ยังไม่ได้ใช้งานมีเส้นผ่านศูนย์กลางของผลการสึกหรอเฉลี่ย 366 ไมโครเมตร ความหมายของผิวเฉลี่ย 0.440 ไมโครเมตร และมวลที่หายไปมีค่า 0.4 มิลลิกรัม ภาพ c) ปนเปื้อนน้ำมันเชื้อเพลิง E85 ในน้ำมันหล่อลื่นที่ยังไม่ได้ใช้งานมีเส้นผ่านศูนย์กลางของผลการสึกหรอเฉลี่ย 529 ไมโครเมตร ความหมายของผิวเฉลี่ย 0.800 ไมโครเมตร และมวลที่หายไปมีค่า 0.8 มิลลิกรัม ภาพ d) ปนเปื้อนน้ำมันเชื้อเพลิง E85 และคาร์บอนแบล็คในน้ำมันหล่อลื่นที่ยังไม่ได้ใช้งานมีเส้นผ่านศูนย์กลางของผลการสึกหรอเฉลี่ย 506 ไมโครเมตร ความหมายของผิวเฉลี่ย 0.970 ไมโครเมตร และมวลที่หายไปมีค่า 0.5 มิลลิกรัม จะเห็นได้ว่าลูกบอลเหล็กมีการสึกหรอทั้งแบบยึดติด ชุดขีดและการล้าตัว การสึกหรอแบบล้าตัวเห็นได้อย่างชัดเจนในผลการทดสอบที่มีการปนเปื้อนน้ำมันเชื้อเพลิง E20 ในน้ำมันหล่อลื่นที่ยังไม่ได้ใช้งานมีลักษณะเป็นหลุม เพราะบริเวณนั้นมีการรับภาระเป็นวงรอบ

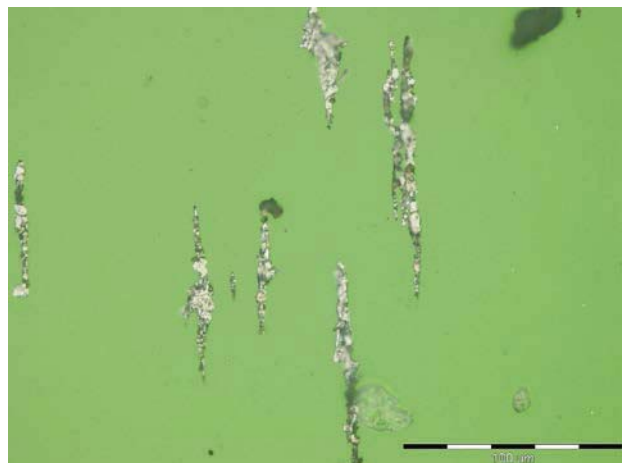
“รูปที่ 10” ในกราฟจะเห็นได้ว่าน้ำมันหล่อลื่นที่ยังไม่ได้ใช้งานมีค่าแรงเสียดทานต้านการหมุน (friction torque) เฉลี่ย 5.48 N.mm การปนเปื้อนน้ำมันเชื้อเพลิง E20 E85 ในน้ำมันหล่อลื่นที่ยังไม่ได้ใช้งานมีค่าแรงเสียดทานต้านการหมุน เฉลี่ย 7.35 N.mm 11.92 N.mm ตามลำดับ และการปนเปื้อนน้ำมันเชื้อเพลิง E85 และคาร์บอนแบล็คในน้ำมันหล่อลื่นที่ยังไม่ได้ใช้งานมีค่าแรงเสียดทานต้านการหมุนเฉลี่ย 6.06 N.mm การปนเปื้อน

เครื่องยนต์เติมน้ำมันเชื้อเพลิง E20

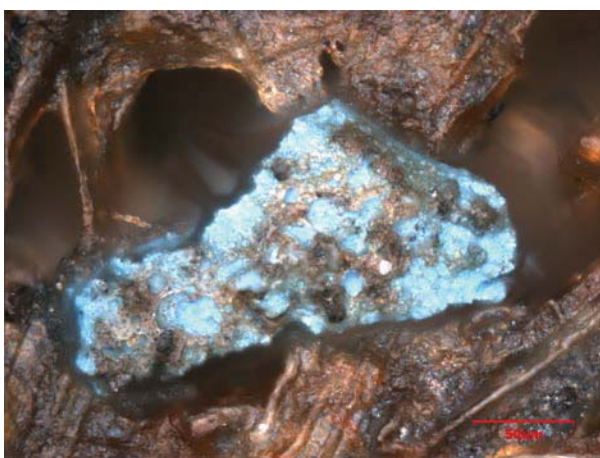


(a)

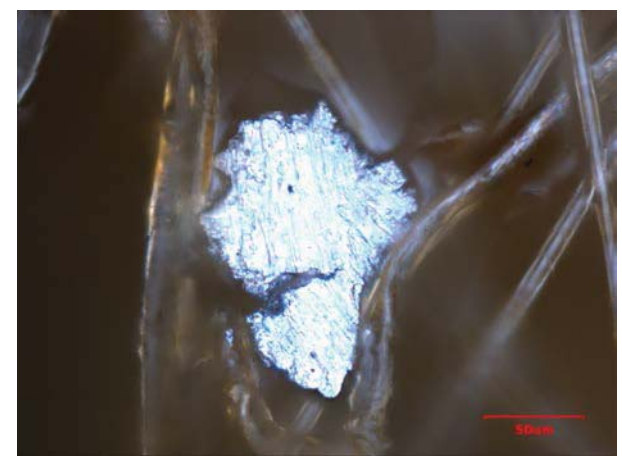
เครื่องยนต์เติมน้ำมันเชื้อเพลิง E85



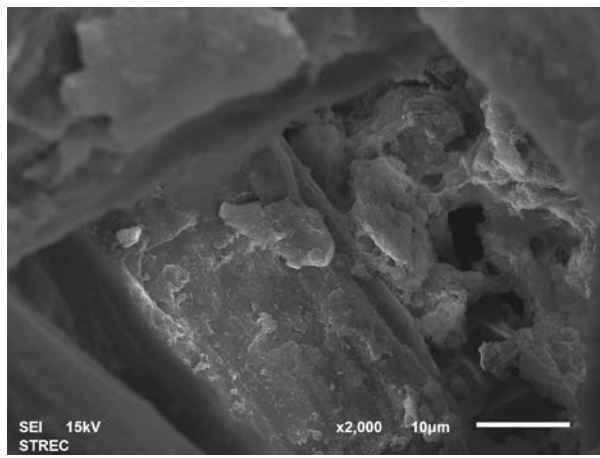
(a)



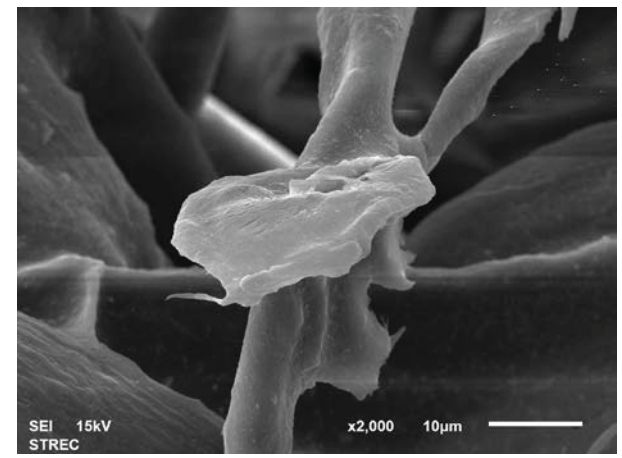
(b)



(b)

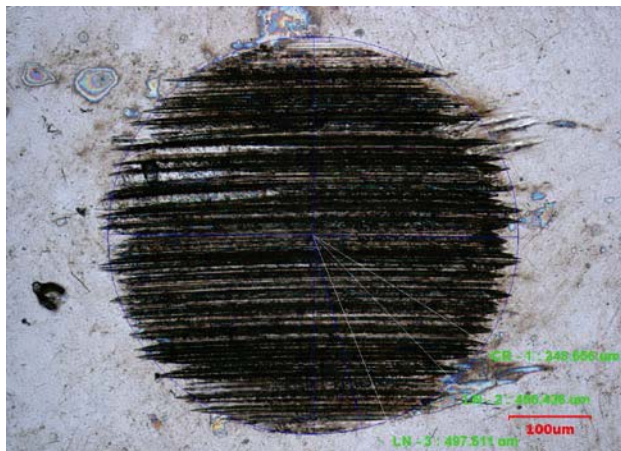


(c)

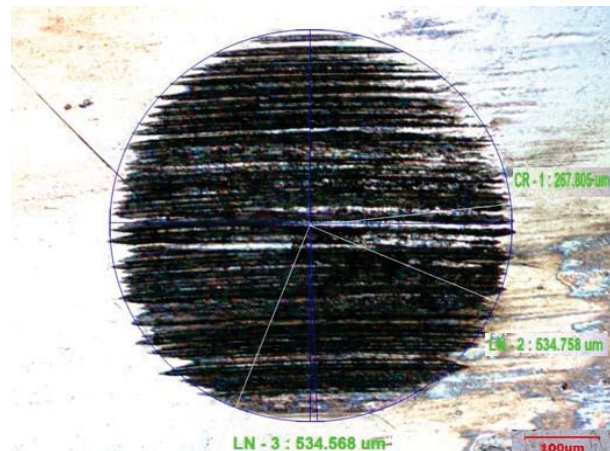


(c)

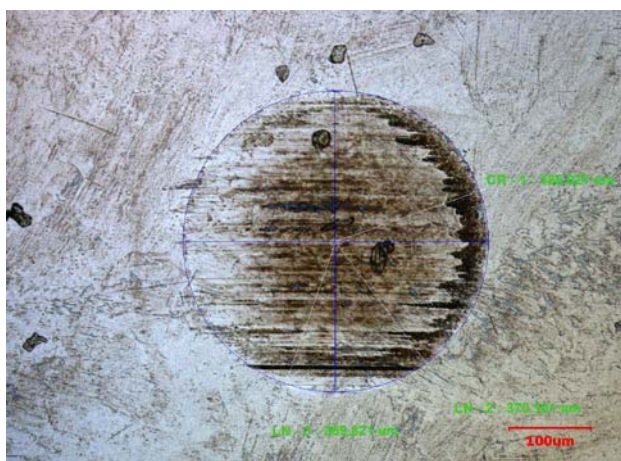
รูปที่ 7 ภาพถ่ายเสย์โลหะสีกหรอที่ร้อยละ 10,000 กม.ของเครื่องยนต์เติมน้ำมันเชื้อเพลิง E20 E85 a) ภาพถ่ายเฟอร์โรกราฟฟี่ที่กำลังขยาย 500X b) ภาพถ่ายไส้กรองน้ำมันเครื่องด้วยกล้องจุลทรรศน์แบบใช้แสงที่กำลังขยาย 500X c) ภาพถ่ายไส้กรองน้ำมันเครื่องด้วยกล้องจุลทรรศน์แบบส่องกราดที่กำลังขยาย 2,000X



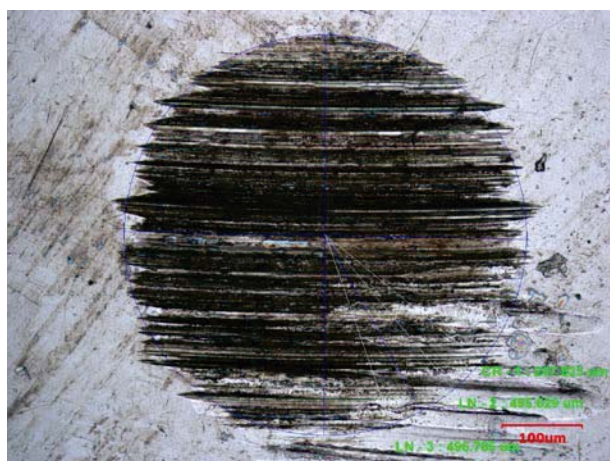
(a)



(c)

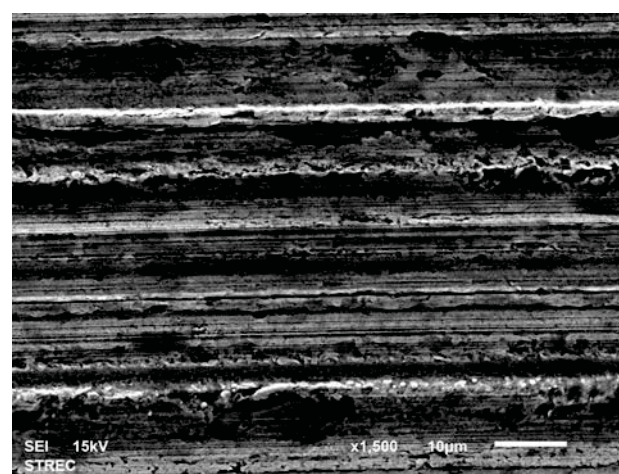
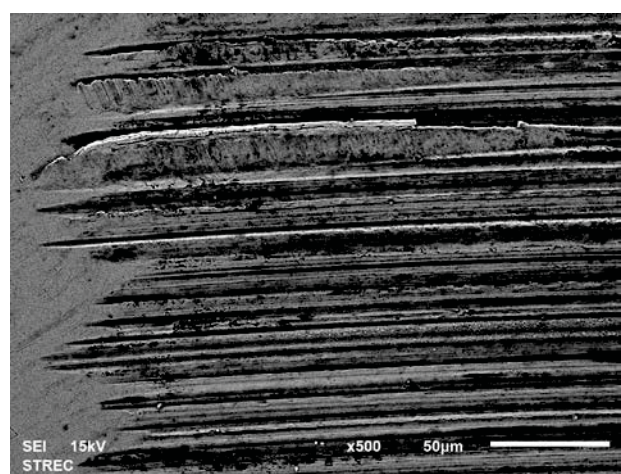


(b)

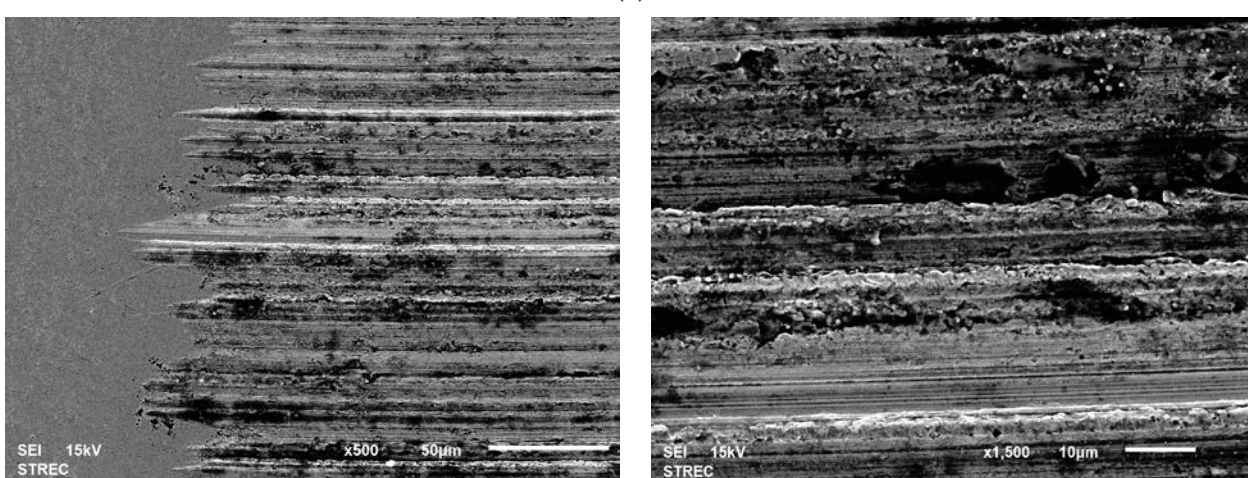
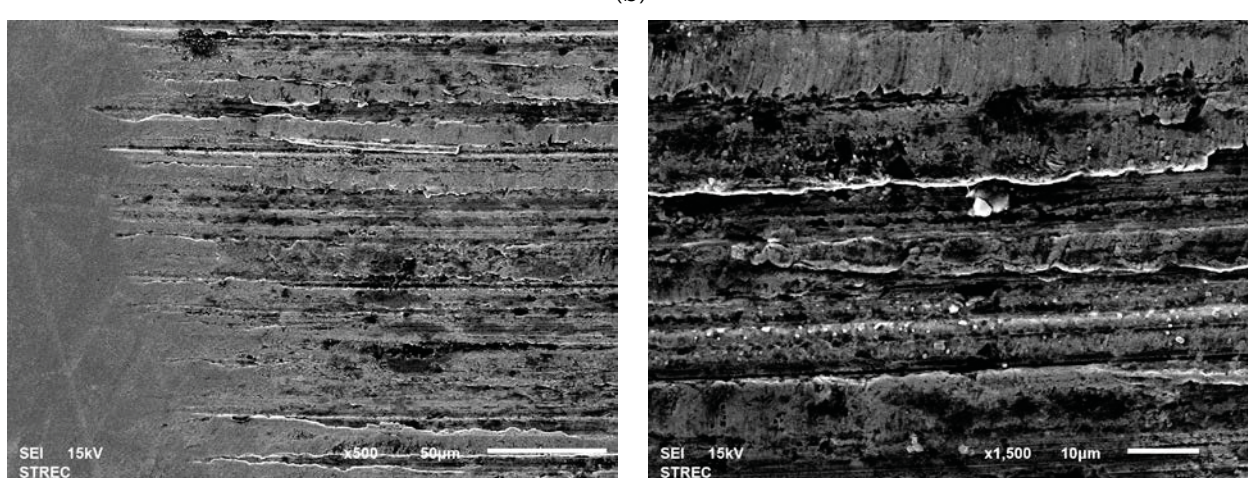
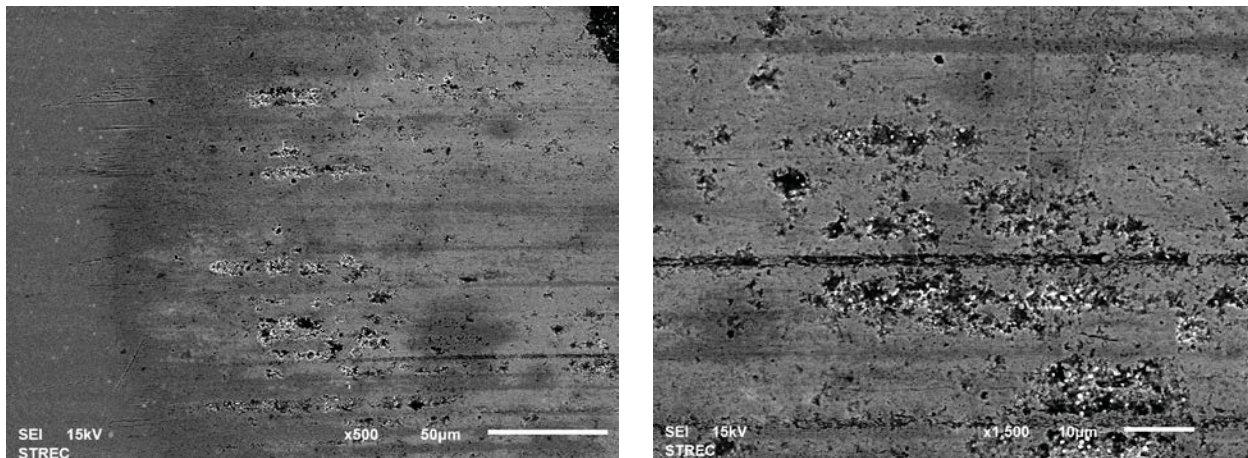


(d)

รูปที่ 8 ภาพถ่ายผลการสึกหรอ(scar) บนลูกบอลเหล็กด้วยกล้องจุลทรรศน์แบบใช้แสง a) new oil ที่กำลังขยาย 200X
b) New oil+E20 ที่กำลังขยาย 200X c) New oil+E85 ที่กำลังขยาย 200X d) New oil+E85+คาร์บอนแบล็ค
ที่กำลังขยาย 200X



(a)

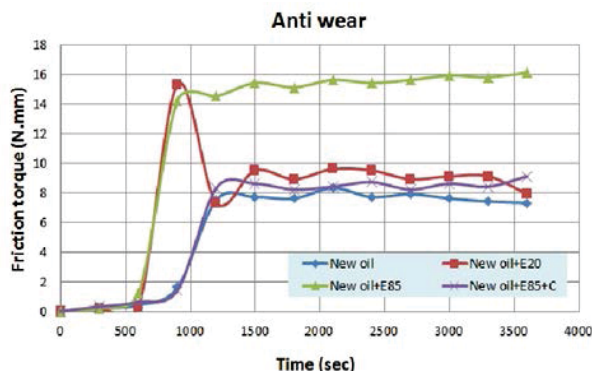


รูปที่ 9 ภาพถ่ายผลการสึกหรอ(scar) บนลูกบล็อกเหล็กด้วยกล้องจุลทรรศน์แบบส่องกราดที่กำลังขยาย 500X 1,500X

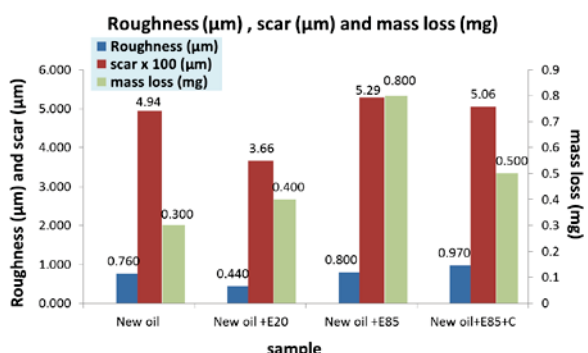
ตามลำดับ a) New oil b) New oil+E20 c) New oil+E85 d) New oil+E85+คาร์บอนแบล็ค

น้ำมันเชื้อเพลิง E85 มีค่าแรงเสียดทานต้านการหมุนที่สูงกว่า E20 ถึง 4.57 N.mm และสูงกว่าที่มีน้ำมันเชื้อเพลิงกับคาร์บอนแบล็คปนเปื้อน 5.86 N.mm

ค่าแรงเสียดทานต้านการหมุนของน้ำมันหล่อลื่นที่ยังไม่ได้ใช้งานมีค่าต่ำที่สุด



รูปที่ 10 กราฟแสดงค่า friction torque (N.mm) และเวลาที่ทำการทดสอบ (วินาที)



รูปที่ 11 กราฟแสดงค่าของเส้นผ่านศูนย์กลางแพลสีกหรือ (μm) ความหยาบของแพลการสีกหรือ (μm) มวลที่หายไป (mg) ของแต่ละตัวอย่างการทดสอบ

“รูปที่ 11” ในกราฟเห็นได้ว่า การปนเปื้อนของน้ำมันเชื้อเพลิง E85 สีกหรือมากกว่า E20 เนื่องจากเส้นผ่านศูนย์กลางแพลสีกหรือของบล็อกให้สูงกว่า 163 ไมครอน ซึ่งค่าแรงเสียดทานต้านการหมุนของ E85 มากกว่า E20 เพราะน้ำมันหล่อลื่นที่ทำหน้าที่ในการป้องกันสัมผัสกันของชิ้นงานมีความเสื่อมสภาพไป Jessie ทำให้ผิวชิ้นงานสัมผัสกันโดยตรง ทำให้เกิดการสีกหรือและความหยาบของผิวลูกบล็อกเหล็กที่สีกหรือของ E85 มีค่าความหยาบเกือบ 2 เท่าของผิวลูกบล็อกเหล็กที่สีกหรือของ E20

การจำลองการปนเปื้อนเขม่าโดยใช้คาร์บอนแบล็คที่ปนเปื้อนด้วยกับน้ำมันเชื้อเพลิง E85 ในน้ำมันหล่อลื่นที่ยังไม่ได้ใช้งานมีผลทำให้ค่าความหยาบของแพลการสีก

หรอบนผิвлูกบล็อกเหล็กมีค่าความหยาบสูงมากกว่าตัวอย่างที่ปนเปื้อนเฉพาะน้ำมันเชื้อเพลิงเพียงอย่างเดียวอาจจะเป็นเพราะคาร์บอนแบล็คมีการเกาะตัวกันเป็นก้อนขนาดใหญ่ที่มีความสูงมากกว่าความหนาของฟิล์มน้ำมันทำให้เกิดการสีกหรือแบบชุดขึ้นได้และมันอาจจะเข้าไปปิดกั้นการเข้าไปทำงานของน้ำมันหล่อลื่นส่งผลให้ผิวชิ้นงานสัมผัสกันมากยิ่งขึ้น เส้นผ่านศูนย์กลางของแพลการสีกหรือของการปนเปื้อนน้ำมันเชื้อเพลิง E85 ด้วยกับคาร์บอนแบล็คและปนเปื้อนน้ำมันเชื้อเพลิง E85 เพียงอย่างเดียวมีค่าเฉลี่ยที่ใกล้เคียงกัน

4. สรุป

- ปริมาณของเศษโลหะเหล็กมีปริมาณมากขึ้นตามอายุของน้ำมันหล่อลื่นที่เพิ่มสูงขึ้นและปริมาณของเศษโลหะเหล็กมีความสัมพันธ์เปร大事กับการปนเปื้อนของน้ำมันเชื้อเพลิงและเข้ม่า ยิ่งปนเปื้อนมากปริมาณของเศษโลหะเหล็กก็เพิ่มมากขึ้นด้วย

- เครื่องยนต์ที่เติมน้ำมันเชื้อเพลิง E85 มีปริมาณการปนเปื้อนเขม่าอย่างกว่าเครื่องยนต์ที่เติมน้ำมันเชื้อเพลิง E20 แต่ค่าความเป็นด่างในน้ำมันหล่อลื่นของเครื่องยนต์ที่เติมน้ำมันเชื้อเพลิง E85 มีค่าต่ำกว่าเครื่องยนต์ที่เติมน้ำมันเชื้อเพลิง E20

- เศษโลหะสีกหรือที่ตรวจพบโดยภาพถ่ายเฟอร์โรกราฟฟีส่วนใหญ่พบการสีกหรือแบบขัดถูแบบปกติมีขนาดโดยเฉลี่ย 2-3 ไมโครเมตร

- การทดสอบไฟร์บล็อก ตัวอย่างที่ปนเปื้อนน้ำมันเชื้อเพลิง E85 ในน้ำมันหล่อลื่นที่ยังไม่ได้ใช้งานมีเส้นผ่านศูนย์กลางแพลการสีกหรือและค่าแรงเสียดทานต้านการหมุนมากกว่าที่ปนเปื้อนน้ำมันเชื้อเพลิง E20

- การทดสอบไฟร์บล็อก ตัวอย่างที่ปนเปื้อนน้ำมันเชื้อเพลิง E85 ด้วยกับคาร์บอนแบล็ค ในน้ำมันหล่อลื่นที่ยังไม่ได้ใช้งานมีความหยาบของผิวแพลการสีกหรือมากกว่าตัวอย่างที่มีการปนเปื้อนน้ำมันเชื้อเพลิง E20

และ E85 แต่ค่าแรงเสียดทานต้านการหมุนน้อยกว่าตัวอย่างที่ป่นเปื้อนน้ำมันเชื้อเพลิง E20 และ E85

5. กิตติกรรมประกาศ

ผู้แต่งขอขอบคุณ FOCUSLAB Ltd. ห้องแลปปฏิบัติการวิเคราะห์สำหรับความช่วยเหลือในการวิเคราะห์ตัวอย่างน้ำมันและชุดอุปกรณ์ในการจัดเก็บตัวอย่าง, เจ้าของรถที่อนุญาตให้ทำการเก็บผลตัวอย่าง, ทุนสำนักงานกองทุนสนับสนุนการวิจัย (สกสว) และ ทุนสำนักงานนโยบายและแผนพลังงาน (EPPO) สำหรับเงินทุนในการทำงานวิจัย

6. เอกสารอ้างอิง

- [1] Simon C. Tung and George E. Totten, Editors. Automotive Lubricants and Testing. ASTM Stock Number: MNL62. U.S.A
- [2] Syed Q. A. Rizvi, Ph.D. A Comprehensive Review of Lubricant Chemistry Technology Selection and Design. "ASTM stock number: MNL59". ISBN 978-0-8031-7000-1. Printed in the U.S.A.
- [3] James A. Addison, William M. Needelman. DIESEL ENGINE LUBRICANT CONTAMINATION AND WEAR. Pall Corporation 30 Sea Cliff Avenue Glen Cove, NY 11542.
- [4] สุรพล รายภูรนัญ(2549).วิศวกรรมการหล่อลื่นเบื้องต้น, กรุงเทพฯ: ชีเอ็คดูเคชั่น,2549
- [5] ปนัดดา นิรนาทล้าพงศ์ และคณะ(2547). การสึกหรอในอุตสาหกรรม, กรุงเทพฯ: สมาคมส่งเสริมเทคโนโลยี(ไทย-ญี่ปุ่น),2547
- [6] Al-Osaimy A.S., Elhabib O.A. and Ali W.Y. Inspecting metallic wear particles lubricating automotive engine oils contaminating. International journal of control, automation and systems. Vol.2, no.3. October 2013.
- [7] Om Prakash Sondhiya, Amit Kumar Gupta. Wear debris analysis of automotive engine lubricating oil using by ferrography. International journal of engineering and innovative technology (IJEIT). Volume 2, issue 5. November 2012
- [8] H. KALELI, E. YILDIRIM .Determination of Oil Drain Period in Naval Ship Diesel Engine. Tribology in industry, Volume 30, No. 3&4, 2008, pp. 21-30.
- [9] Hakan Kaleli, Used Oil Analysis and Study of Oil Drain Period in Gasoline Engine. ISSN 0148-7191 Copyright 1998 Society of Automotive Engineers, Inc.
- [10] D A Green and R Lewis. The effects of soot-contaminated engine oil on wear and friction a review. DOI:10.1243/09544070 JAUTO468. Proc. IMechE Vol. 222 Part D: J. Automobile Engineering.
- [11] สถาพร เชื้อเพ็ง. ความเข้ากันได้ของวัสดุชิ้นส่วนยานยนต์กับเบื้องเพลิงผสมเօรานอล-แก๊สโซไซลิน (อี85), ฉบับที่ 70 ปีที่ 22 พฤศจิกายน 2552 - มกราคม 2553, หน้า 33-44
- [12] Charlotte Besser. Investigation of long-term engine oil performance using lab-based artificial ageing illustrated by the impact of ethanol as fuel component. Tribology International, Volume 30, 46 (2012), pp174-182.
- [13] Focuslab (2016). Oil Analysis-level 2.
- [14] Thanant Sirisithichote. Wear debris.